

# Dynamical Solution of Axion Domain Wall Problem

宇宙線研究所(ICRR)  
小林伸

共同研究者：  
伊部昌宏(ICRR)、鈴木資生(ICRR)、柳田勉(TDLI)

# 目次

- 研究背景
- Spectator による解決策
- 結論

# 目次

- 研究背景
  - Strong CP 問題とアクション
  - 宇宙論からの制限
  - ドメインウォール問題
- Spectator による解決策
- 結論

# θ項

QCDラグランジアンには、 $\theta$ に依存する項が追加される。

$$\mathcal{L}_\theta = \theta \frac{g^2}{32\pi^2} F_{\mu\nu}^a \tilde{F}^{a\mu\nu}$$

中性子の電気双極子モーメント(EDM)

$$d_n = 4.5 \times 10^{-15} e\bar{\theta} \text{ cm}$$

$$\bar{\theta} = \theta + \arg(\det M_q)$$

EDMの測定実験

$$|\bar{\theta}| \lesssim \times 10^{-10} \quad \text{C. A. Baker, et al. PRL, 97(2006).}$$

ファインチューニング

Strong CP問題

# Peccei-Quinn機構

R. D. Peccei and H. R. Quinn.  
PRL, 1977.

Axial  $U(1)_{PQ}$  と、新たなスカラー場 (PQ場)  $P$ を導入

$$\mathcal{L}_{\text{Yukawa}} = -y q_L^\dagger P q_R + \text{h.c.} \quad q : \text{KSVZ quark}$$

PQ breaking:  $P \rightarrow v_{\text{PQ}} \exp\left(i \frac{a}{v_{\text{PQ}}}\right)$   $a$  : axion

クォークのカイラル回転で  $F\tilde{F}$  項に  $P$ 場の位相成分を移す

$$\bar{\theta} \frac{g^2}{32\pi^2} F_{\mu\nu}^a \tilde{F}^{a\mu\nu} \rightarrow \left(\bar{\theta} + \frac{a}{f_a}\right) \frac{g^2}{32\pi^2} F_{\mu\nu}^a \tilde{F}^{a\mu\nu}$$

$\theta$ 項はダイナミカルな量→ポテンシャルの最小点に落ちる。

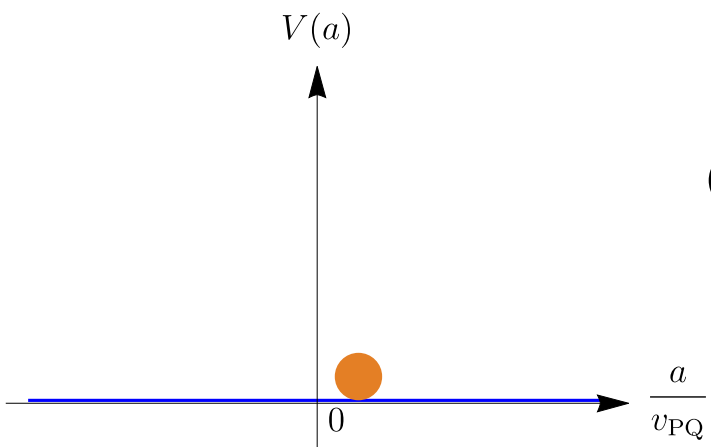
$$\bar{\theta} + \frac{a}{f_a} = 0, \quad f_a \equiv \frac{v_{\text{PQ}}}{N}, \quad N : \text{quark number}$$

# アクションのポテンシャル

- QCD相転移付近でポテンシャルが出現

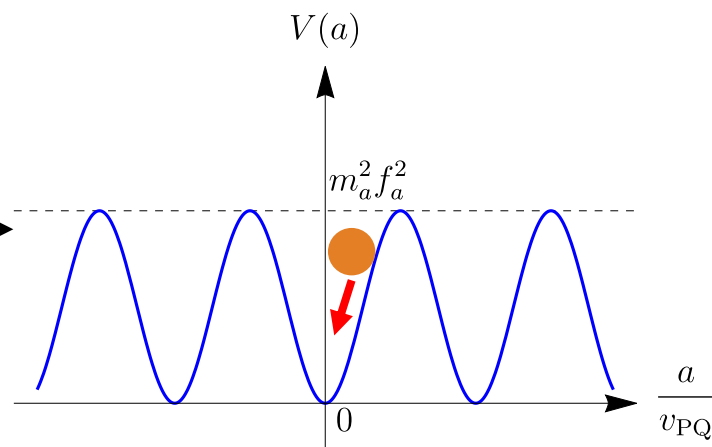
O. Wantz, E. P. S. Shellard,  
**PRD82** (2010)

$$m_a^{QCD}(T) = \begin{cases} 6.48 \times 10^{-8} \text{ eV} \left( \frac{\Lambda_{\text{QCD}}}{400 \text{ MeV}} \right)^2 \left( \frac{f_a}{10^{12} \text{ GeV}} \right)^{-1} \left( \frac{T}{\Lambda_{\text{QCD}}} \right)^{-3.34} & T > 0.26 \Lambda_{\text{QCD}} \\ 6.11 \times 10^{-6} \text{ eV} \left( \frac{\Lambda_{\text{QCD}}}{400 \text{ MeV}} \right)^2 \left( \frac{f_a}{10^{12} \text{ GeV}} \right)^{-1} & T < 0.26 \Lambda_{\text{QCD}} \end{cases}$$



$T \gg \Lambda_{\text{QCD}}$

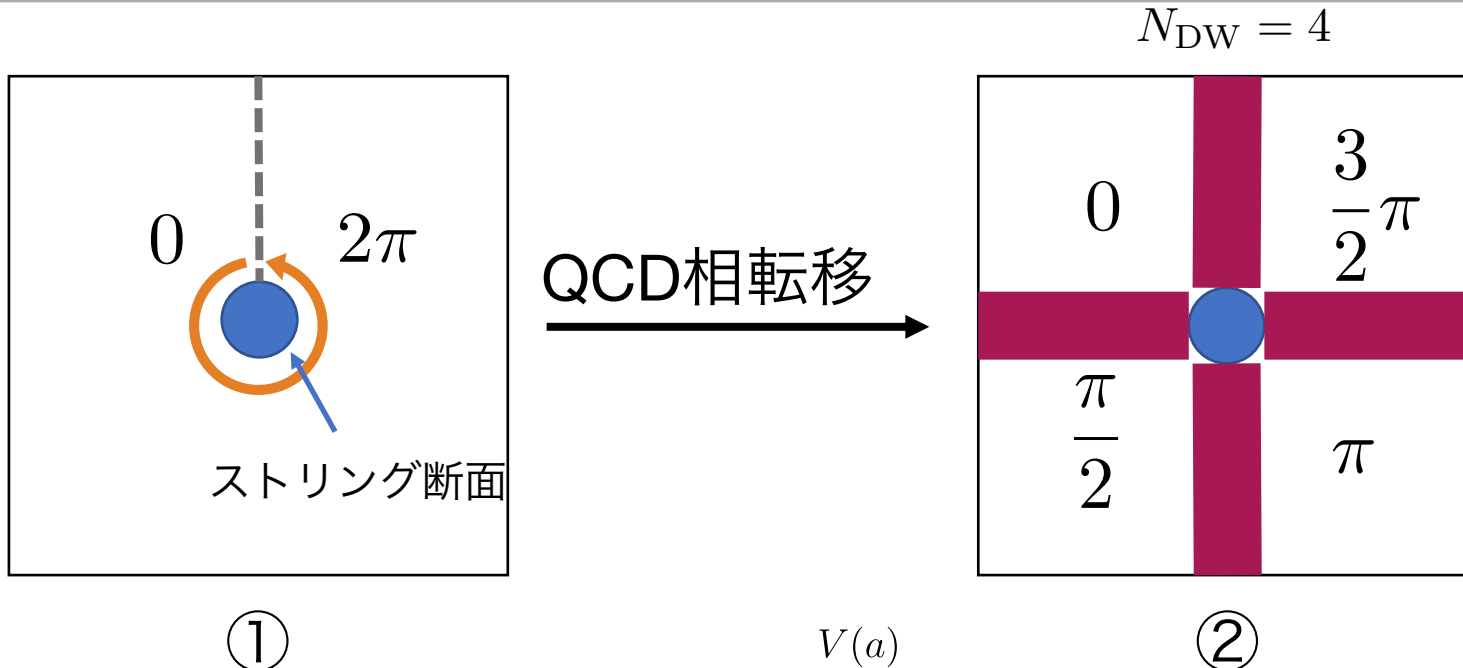
QCD相転移



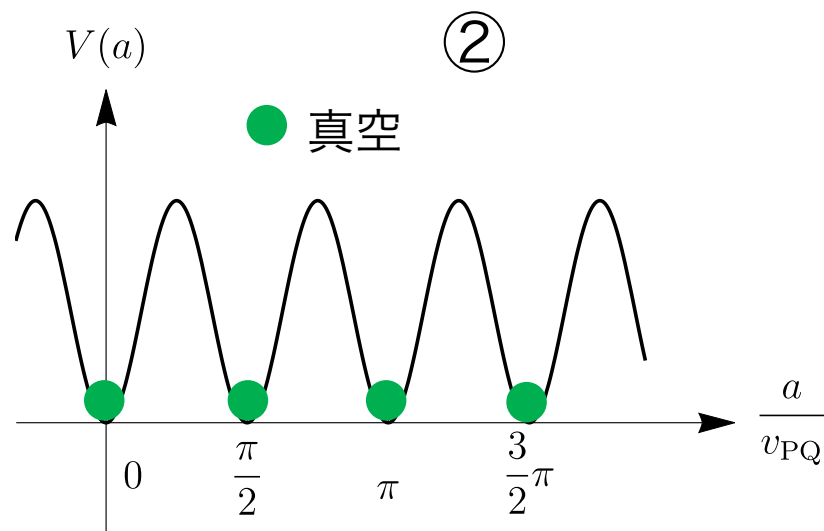
$T \ll \Lambda_{\text{QCD}}$

- コヒーレント振動: ダークマター残存量
- ドメインウォールの形成

# アクションの位相欠陥



- ①  $U(1)_{PQ}$  の破れ  
→ ストリング形成
- ② QCD相転移で  $Z_N$  の破れ  
→ ドメインウォール形成



# ドメインウォール問題

ドメインウォールのエネルギー密度（1 Hubble 体積あたりに1つのとき）

$$\rho_w \sim \frac{T_w d_H^2}{d_H^3} \sim m_a f_a^2 H \propto \begin{cases} R^{-2} & \text{放射優勢期} \\ R^{-3/2} & \text{物質優勢期} \end{cases}$$

$$d_H = \frac{1}{H} : \text{Hubble 半径}$$

$T_w$  : ウォールの張力

ドメインウォールの存在

- 宇宙の一様等方性の観測と矛盾
- 膨張速度の変化



ドメインウォールを壊す、もしくは生じさせなくなる機構が必要

# 解決方法

- インフレーション前に $U(1)_{PQ}$ を破る

宇宙膨張で位相欠陥の数密度が非常に低くなる

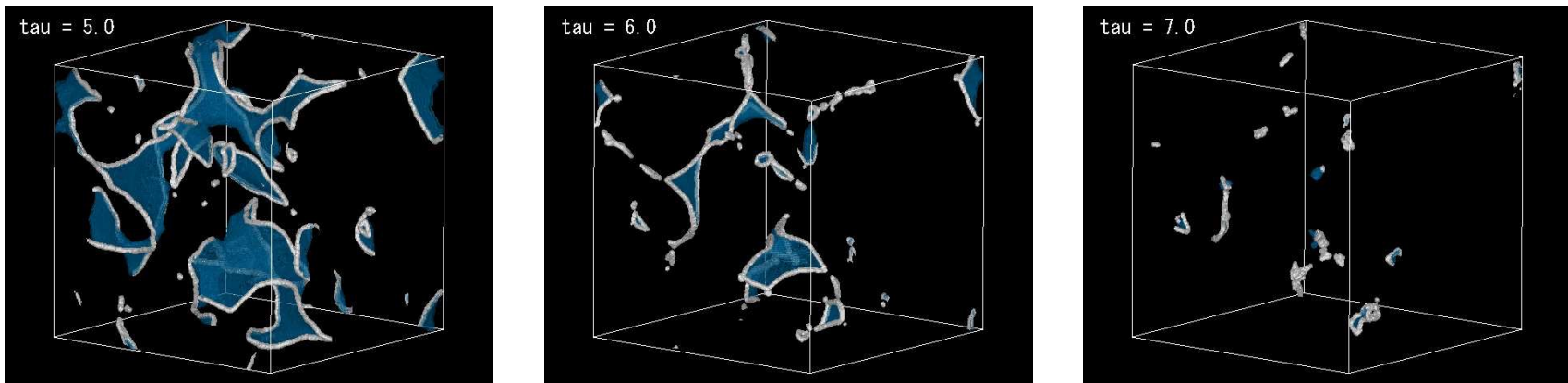
← 等曲率揺らぎの観測による制限が存在 M. Kawasaki, K. Nakayama, ARNPS **63**(2013)

$$\theta_i \sim 1 \quad \text{に対して} \quad H_I \lesssim 10^8 \text{ GeV}$$

- $N_{DW} = 1$  シナリオ A. Vilenkin and A. E. Everett, PRL **48** (1982)

ドメインウォールが収縮・消滅  
シミュレーションでも確認される

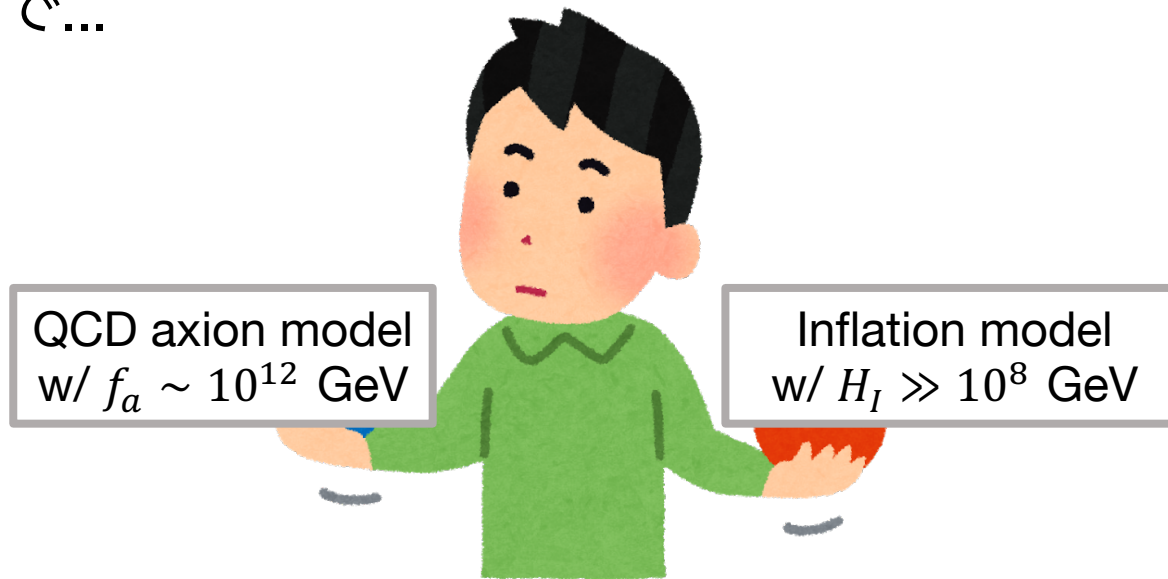
T. Hiramatsu, et al., PRD **85** (2012)



← アクションの過剰生成で  $f_a \lesssim 10^{10} \text{ GeV}$  に制限

# 本研究の目標

これまで...



今回は...

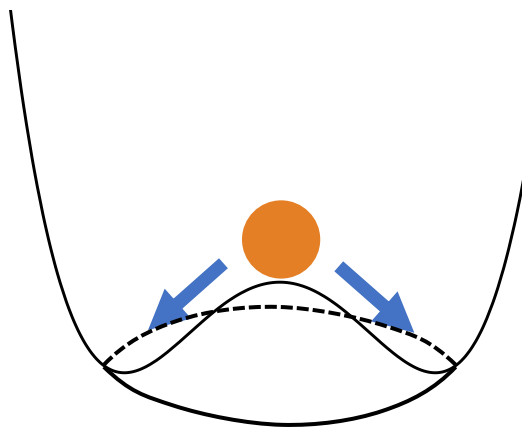
- 2つを両立する模型構築は可能か？
- 可能ならどれだけ回復できるか？

# 目次

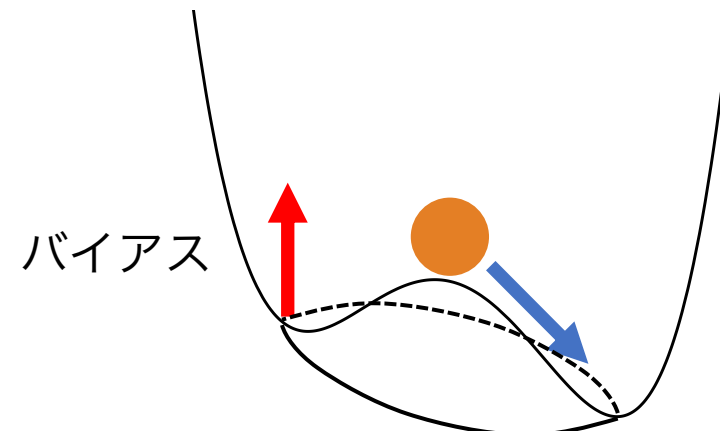
- 研究背景
- Spectator による解決策
  - 基本的なアイデア
  - 模型設定
  - ダイナミクスの詳細
  - パラメータへの制限
- 結論

# 基本的なアイデア

- $U(1)_{PQ}$  は放射優勢期に破る  
→ 等曲率揺らぎによる制限を抑制できる
- PQ場と、大きな場の値を持つ Spectator の結合によってアクションポテンシャルに傾きをかける  
→ 力学的にアクションを一つの位相に落とす



Spectator なし



Spectator あり

# 模型設定

登場する場

$\phi$  : インフラトン

$P$  : PQ 場 (熱浴と接する)

$S$  : PQ 荷を持つ複素スカラー場 (熱浴とは接しない)

$$\begin{aligned} V(P, S, \phi) = & V(\phi) + \lambda_p \left( |P|^2 - \frac{v_{\text{PQ}}^2}{2} \right)^2 + c_p H_I^2 |P|^2 \\ & + m_s^2 |S|^2 + \frac{\lambda_s^2}{(n!)^2 M_{\text{Pl}}^{2n-4}} |S|^{2n} - c_s H_I^2 |S|^2 \\ & + \frac{\lambda}{m! M_{\text{Pl}}^{m-3}} S^m P + \text{h.c.} \end{aligned}$$

# 模型設定

登場する場

$\phi$  : インフラトン

$P$  : PQ 場 (熱浴と接する)

$S$  : PQ 荷を持つ複素スカラー場 (熱浴とは接しない)

$$\begin{aligned} V(P, S, \phi) = & V(\phi) + \lambda_p \left( |P|^2 - \frac{v_{\text{PQ}}^2}{2} \right)^2 + c_p H_I^2 |P|^2 \\ & + m_s^2 |S|^2 + \frac{\lambda_s^2}{(n!)^2 M_{\text{Pl}}^{2n-4}} |S|^{2n} - c_s H_I^2 |S|^2 \\ & + \frac{\lambda}{m! M_{\text{Pl}}^{m-3}} S^m P + \text{h.c.} \end{aligned}$$

# 模型設定

登場する場

$\phi$  : インフラトン

$P$  : PQ 場 (熱浴と接する)

$S$  : PQ 荷を持つ複素スカラー場 (熱浴とは接しない)

$$\begin{aligned} V(P, S, \phi) = & V(\phi) + \lambda_p \left( |P|^2 - \frac{v_{\text{PQ}}^2}{2} \right)^2 + c_p H_I^2 |P|^2 \\ & + m_s^2 |S|^2 + \frac{\lambda_s^2}{(n!)^2 M_{\text{Pl}}^{2n-4}} |S|^{2n} - c_s H_I^2 |S|^2 \\ & + \frac{\lambda}{m! M_{\text{Pl}}^{m-3}} S^m P + \text{h.c.} \end{aligned}$$

# 模型設定

登場する場

$\phi$  : インフラトン

$P$  : PQ 場 (熱浴と接する)

$S$  : PQ 荷を持つ複素スカラー場 (熱浴とは接しない)

$$V(P, S, \phi) = V(\phi) + \lambda_p \left( |P|^2 - \frac{v_{\text{PQ}}^2}{2} \right)^2 + c_p H_I^2 |P|^2$$

$$+ m_s^2 |S|^2 + \frac{\lambda_s^2}{(n!)^2 M_{\text{Pl}}^{2n-4}} |S|^{2n} - c_s H_I^2 |S|^2$$

$$+ \frac{\lambda}{m! M_{\text{Pl}}^{m-3}} S^m P + \text{h.c.}$$

# 模型設定

登場する場

$\phi$  : インフラトン

$P$  : PQ 場 (熱浴と接する)

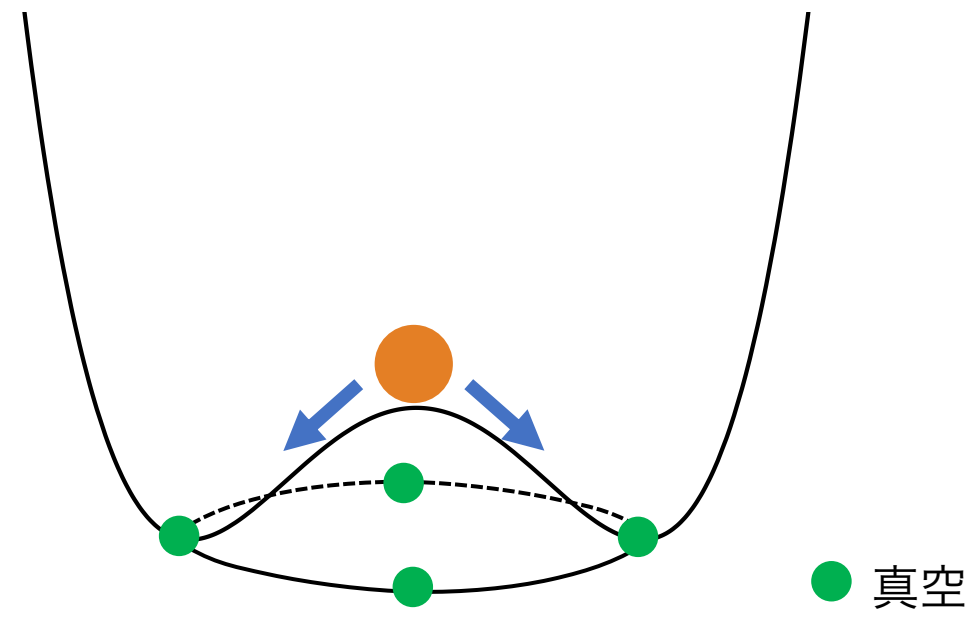
$S$  : PQ 荷を持つ複素スカラー場 (熱浴とは接しない)

$$\begin{aligned}
 V(P, S, \phi) = & V(\phi) + \lambda_p \left( |P|^2 - \frac{v_{\text{PQ}}^2}{2} \right)^2 + c_p H_I^2 |P|^2 \\
 & + m_s^2 |S|^2 + \frac{\lambda_s^2}{(n!)^2 M_{\text{Pl}}^{2n-4}} |S|^{2n} - c_s H_I^2 |S|^2 \\
 & + \boxed{\frac{\lambda}{m! M_{\text{Pl}}^{m-3}} S^m P + \text{h.c.}}
 \end{aligned}$$

バイアス項

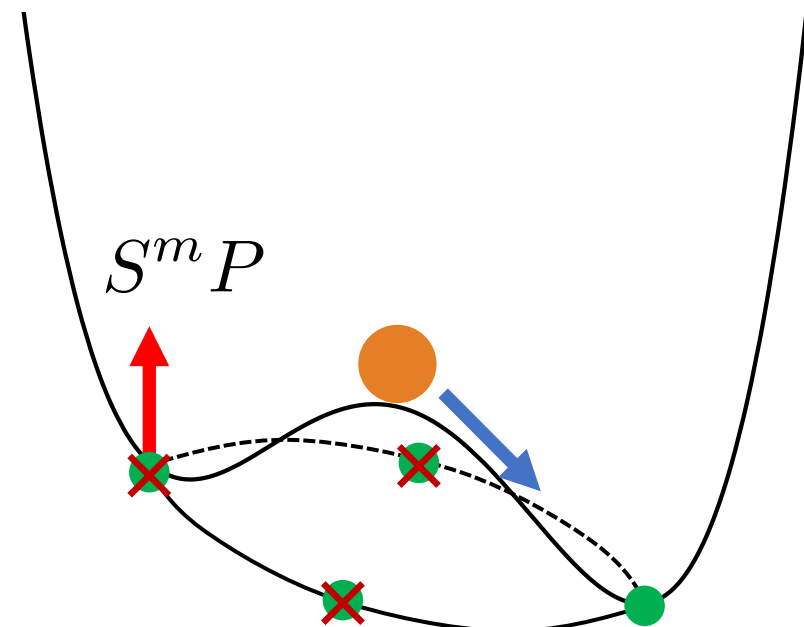
# Spectator の働き

$P$ のポテンシャル



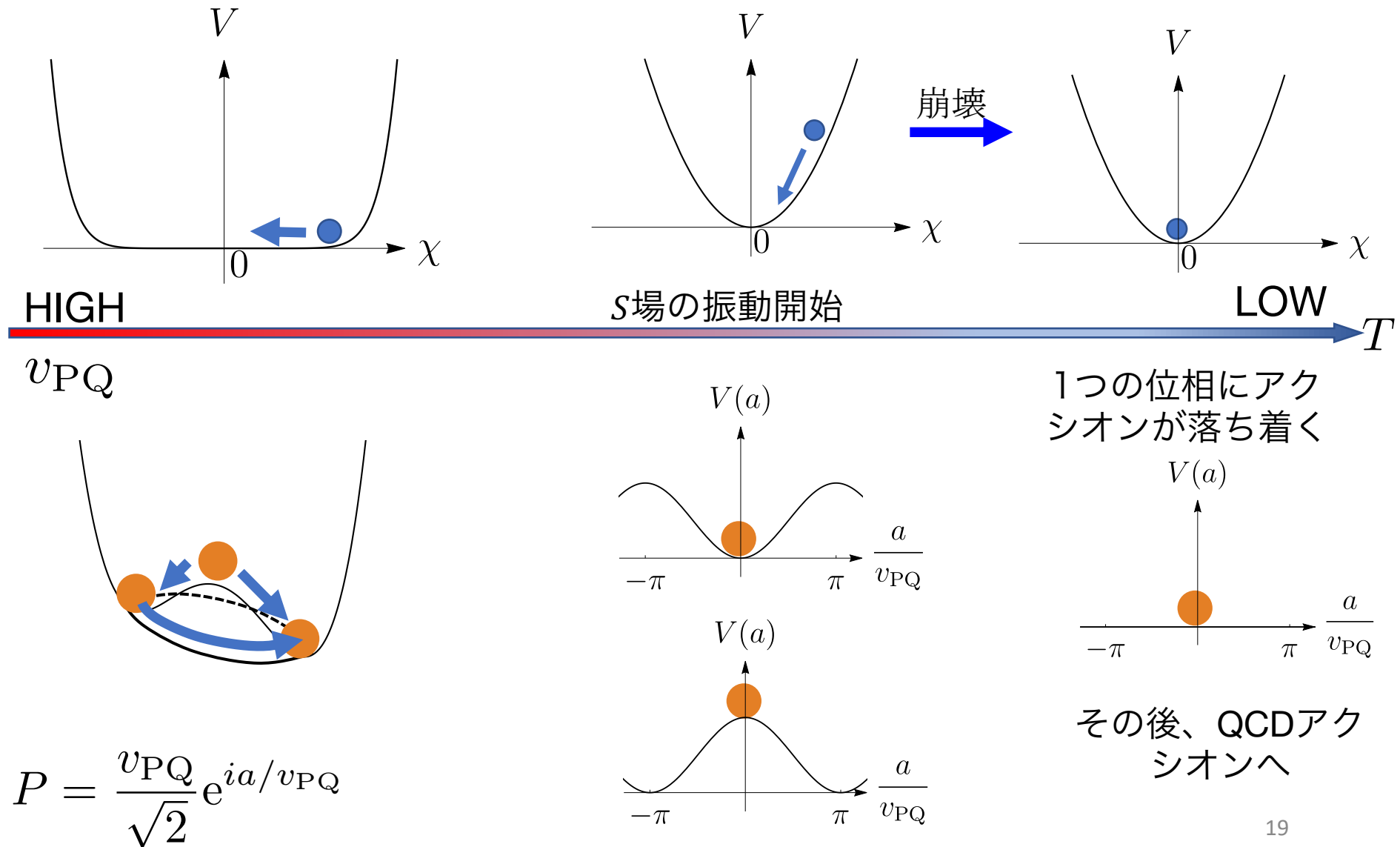
バイアス項なし

$P$ のポテンシャル



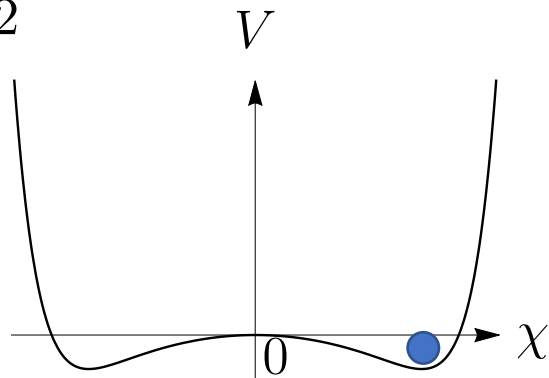
バイアス項あり

# 時間発展の概略 ( PQ breaking ~ QCD transition)

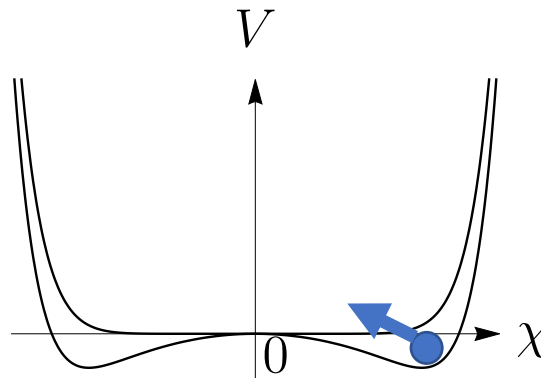


# Spectator のダイナミクス

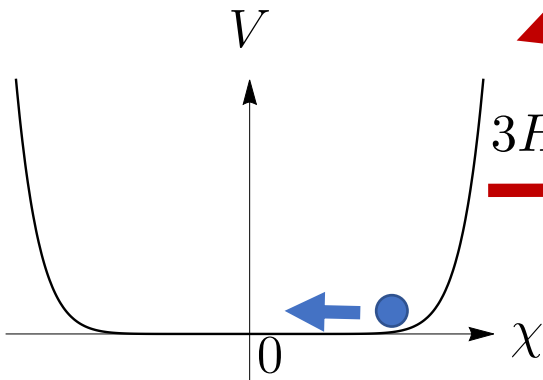
$$S = \frac{\chi}{\sqrt{2}} e^{i\theta_b}$$



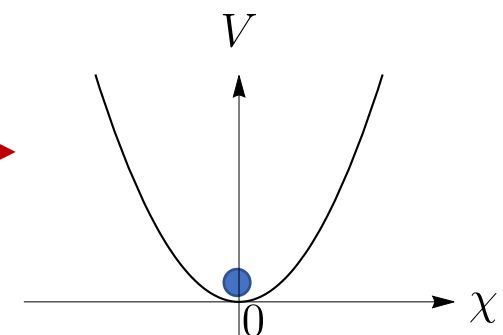
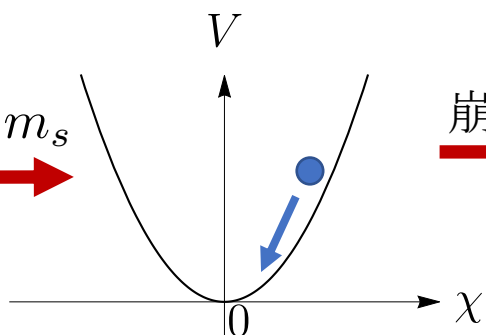
インフレーション期



インフラトン振動期



放射優勢期



# Spectator に対する要請

- 少なくとも PQ 対称性が破れるまで large field value を保ち、振動しない  
→ ポテンシャルのべきに対する制限

Y. Ema, et al., JCAP 1602, no. 02, 067 (2016)

$$\frac{\lambda_s^2}{(n!)^2 M_{\text{Pl}}^{2n-4}} |S|^{2n}, \quad n \geq 6 \rightarrow |S| \simeq M_{\text{Pl}} \left( \frac{H}{M_{\text{Pl}}} \right)^{\frac{1}{n-1}}$$

- コヒーレント振動が宇宙を支配しない  
→ Massless fermion へ崩壊させる

$$\mathcal{L}_{S\text{-decay}} = -y_s S \bar{\psi}_s \psi_s + \text{h.c.}$$

# アクションのポテンシャル

アクションはバイアス項からポテンシャルが生じる。

$$\begin{aligned}
 V(a) &= 2 \frac{\lambda v_{\text{PQ}}}{m! M_{\text{Pl}}^{m-3}} \left( \frac{\chi}{\sqrt{2}} \right)^m \cos \left( \frac{a}{v_{\text{PQ}}} + m\theta_b \right) \\
 &\simeq 2 \frac{\lambda}{m!} v_{\text{PQ}} M_{\text{Pl}}^3 \left( \frac{H}{M_{\text{Pl}}} \right)^{\frac{m}{n-1}} \cos \left( \frac{a}{v_{\text{PQ}}} + m\theta_b \right)
 \end{aligned}$$

ここからアクションの質量を得る。

$$m_a(T)^2 = 2 \frac{\lambda M_{\text{Pl}}^3}{m! v_{\text{PQ}}} \left( \frac{H}{M_{\text{Pl}}} \right)^{\frac{m}{n-1}} \simeq 2 \frac{\lambda M_{\text{Pl}}^3}{m! v_{\text{PQ}}} \left( \frac{T}{M_{\text{Pl}}} \right)^{\frac{2m}{n-1}}$$

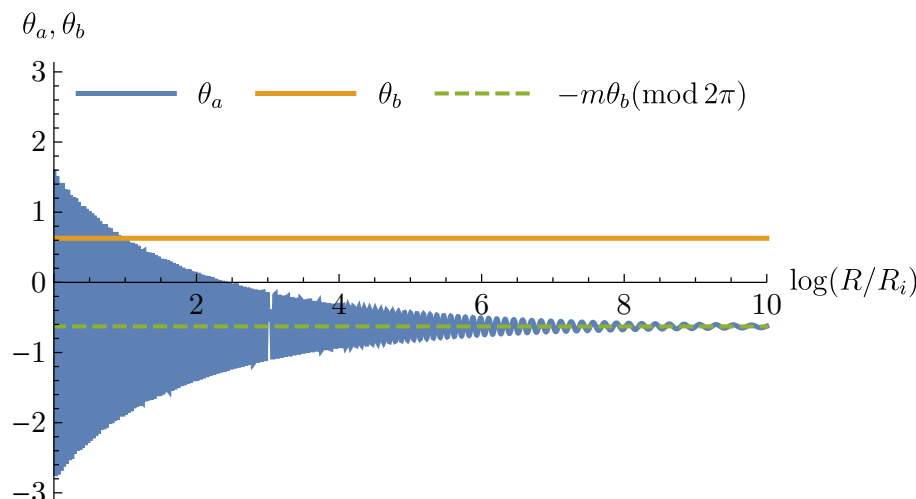
# 角度成分のダイナミクス

$$V = 2 \frac{\lambda v_{\text{PQ}}}{m! M_{\text{Pl}}^{m-3}} \left( \frac{\chi}{\sqrt{2}} \right)^m \cos \left( \frac{a}{v_{\text{PQ}}} + m \frac{b}{\chi} \right)$$

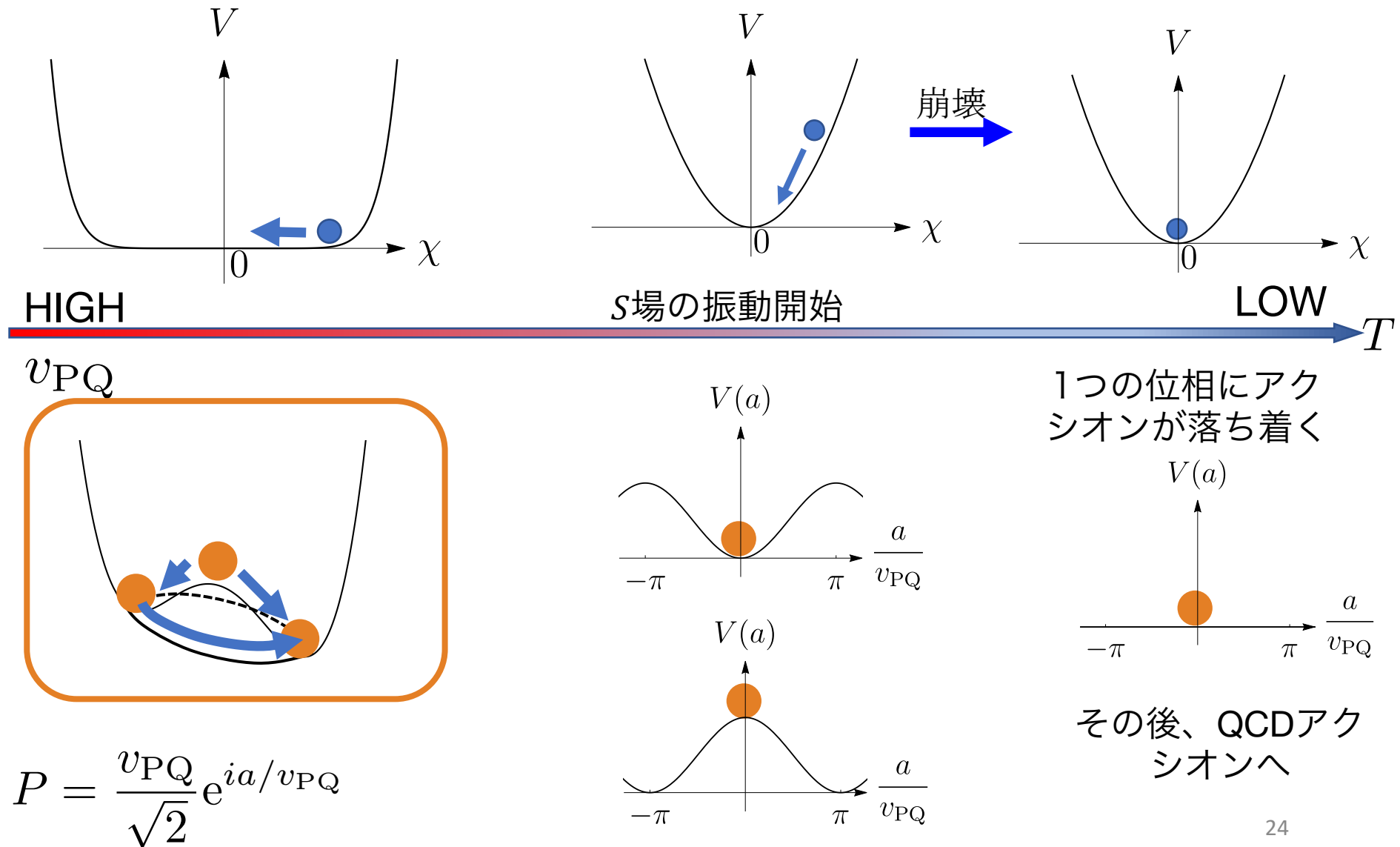
$\theta_b$  は動かないのか？

$$v_{\text{PQ}} \ll \chi \longrightarrow m_a^2 \simeq V(0)/v_{\text{PQ}}^2 \gg V(0)/\chi^2 \simeq m_b^2$$

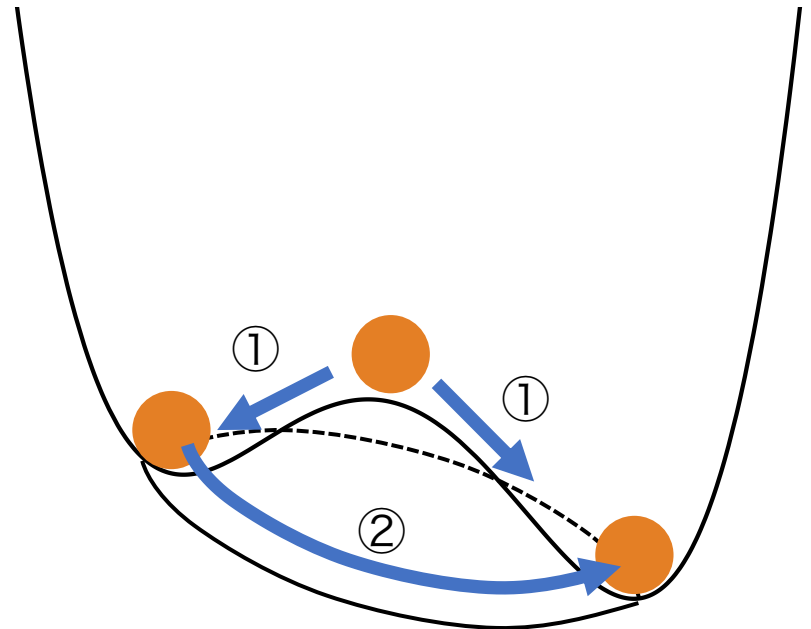
$a$  が圧倒的に速く動くので  $\theta_b$  は一定とみなせる！



# 時間発展の概略 ( PQ breaking ~ QCD transition)



# ストリング-ドメインウォール系の形成



①バイアス項があっても、ゆらぎの存在により、最初はバラバラの方向に転がる。

②ポテンシャルの傾きに沿って、エネルギー最低点へと転がる。

→ ストリング-ドメインウォールの形成

# ストリング-ドメインウォール系の消滅

ウォールのエネルギー→ストリングのエネルギーとなると収縮して消滅する

$$\frac{E_w}{E_s} = \frac{T_w d_H(T)^2}{T_s d_H(T)} = \frac{T_w}{T_s H(T)} > 1$$

$T_w = 8m_a(T)v_{PQ}^2$  : ウォールの表面張力

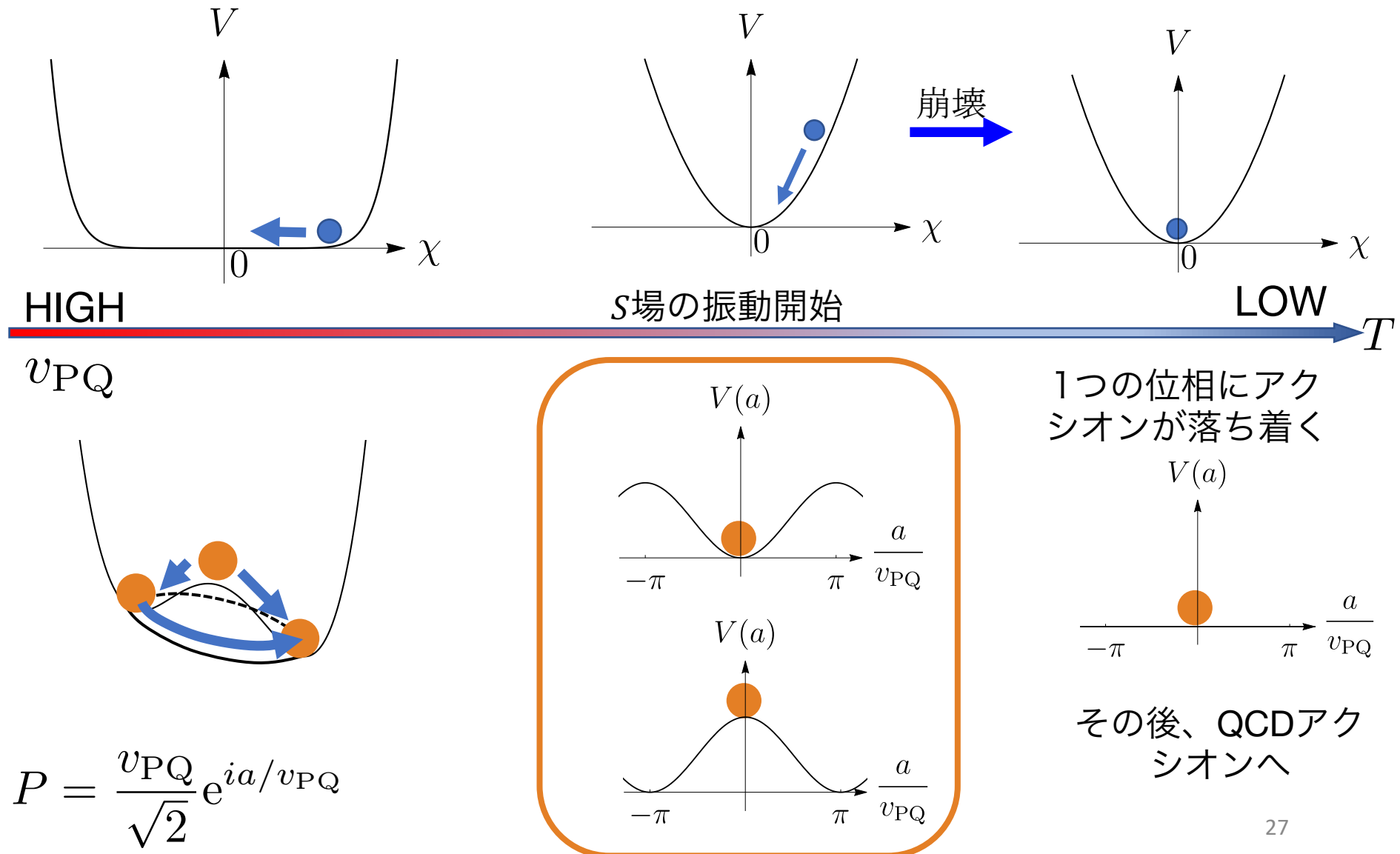
$T_s \simeq 2\pi v_{PQ}^2 \ln\left(\frac{v_{PQ}}{H(T)}\right)$  : ストリングの張力

→  $m_a(T) > \frac{\pi}{4} H(T) \ln\left(\frac{v_{PQ}}{H(T)}\right)$

を満たす温度であれば、ドメインウォールが消滅する。

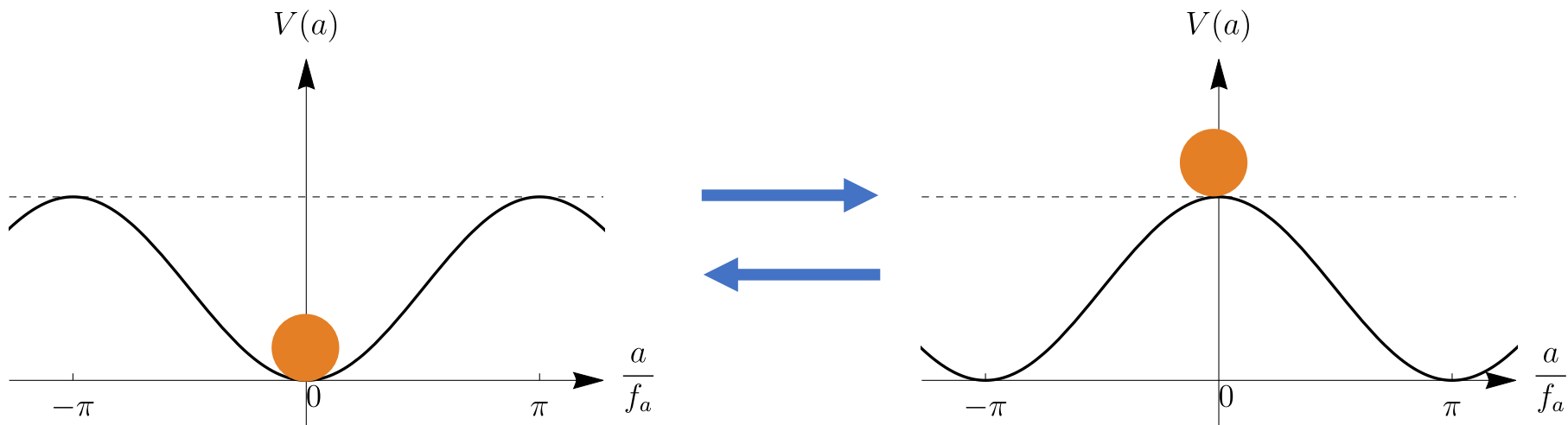
- $N_{DW} = 1$  シナリオよりもずっと早い時期に消滅するので、 $f_a$ の制限を回避できる

# 時間発展の概略 ( PQ breaking ~ QCD transition)



# アクションポテンシャルの振動

$S$ 場が振動を始めると、アクションのポテンシャルも振動する。



このとき、 $3H < m_a$  だとアクションが転がって、位相がバラバラになる。



$$m_s \gtrsim 3H > m_a$$

# アクション質量の温度依存性

PQ対称性の破れの直後       $m_a \gtrsim 3H > m_s$

$S$ 場の振動開始前後       $m_s \gtrsim 3H > m_a$

→  $m_a$  は  $H$ よりも速く落ちる！

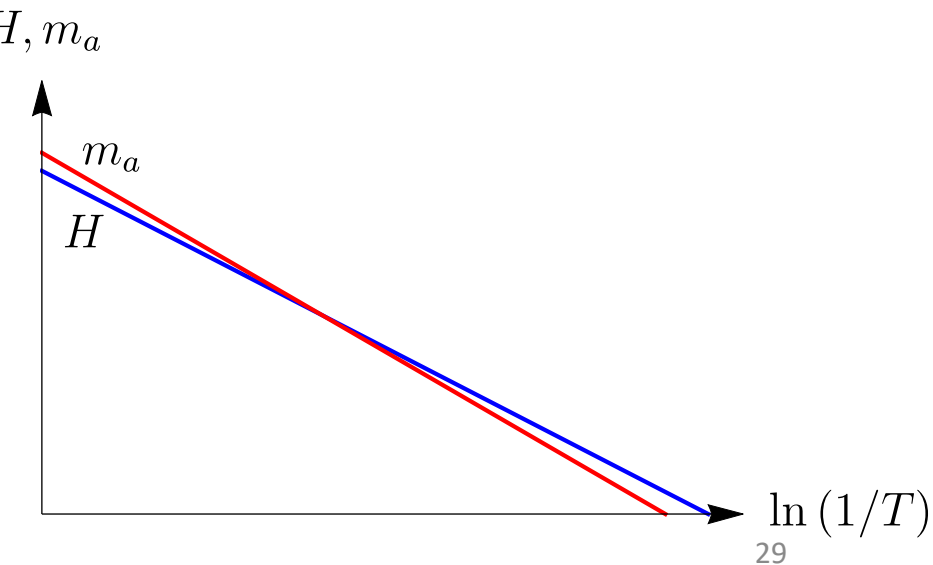
$$m_a(T)^2 \propto \left( \frac{H}{M_{\text{Pl}}} \right)^{\frac{m}{n-1}}$$

であるから、

$$m > 2(n - 1)$$

minimal な模型は

$$n = 6, m = 11$$



# パラメータへの制限

ドメインウォールが崩壊しなくなる温度  $T_{\text{coll}}$

$$m_a(T_{\text{coll}}) = \frac{\pi}{4} H(T_{\text{coll}}) \ln \left( \frac{v_{\text{PQ}}}{H(T_{\text{coll}})} \right)$$

アクションが転がらなくなる温度  $T_{\text{fric}}$

$$m_a(T_{\text{fric}}) = 3H(T_{\text{fric}})$$

これらの量に対し、

$$T_{\text{coll}}(\lambda) < v_{\text{PQ}}$$

$$m_a(T_{\text{fric}}) = 3H(T_{\text{fric}}) > m_s$$

がパラメータへの制限になる。

# パラメータへの制限

$S$ のダイナミクスにバイアス項が効いてしまうと、 $S$ が原点に落ちなくなってしまう

$m = 2n - 1$  の場合、

$$\frac{\lambda_s^2}{(n!)^2 M_{\text{Pl}}^{2n-4}} |S|^{2n} \sim \frac{\lambda}{m! M_{\text{Pl}}^{m-3}} |S|^{2n-1} v_{\text{PQ}}$$

のときにバイアス項と  $S$  のポテンシャルが同程度になる。この時、質量項がバイアスに勝てば原点に落ちてくれる。

$$\frac{\lambda}{m!} v_{\text{PQ}} M_{\text{Pl}} \left( \frac{(n!)^2 \lambda}{m! \lambda_s^2} \frac{v_{\text{PQ}}}{M_{\text{Pl}}} \right)^{2n-3} < m_s^2$$

をバイアス項による  $S$  へのバックリアクションを無視できる条件として課す。

# 等曲率揺らぎ

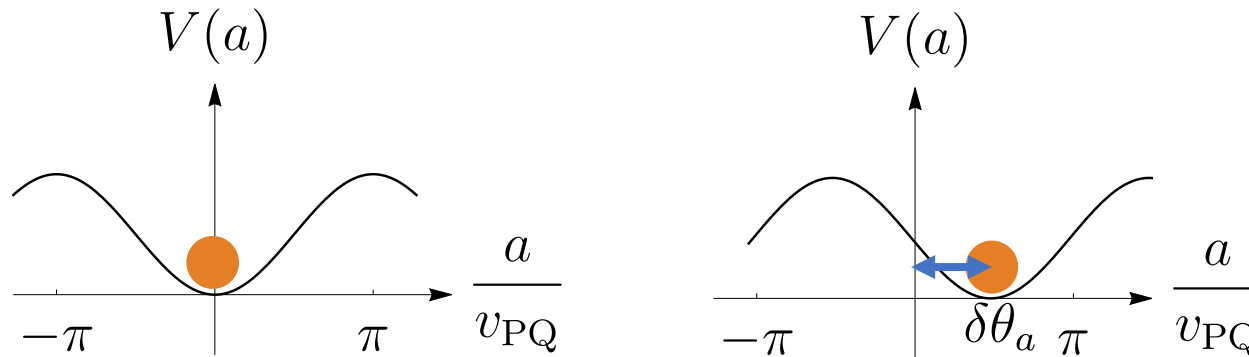
インフレーション中に、 $S$ 場の位相方向に揺らぎが生じる。

$$\delta\theta_b \sim \frac{H_I}{2\pi\langle\chi\rangle_I}$$

アクションのポテンシャル

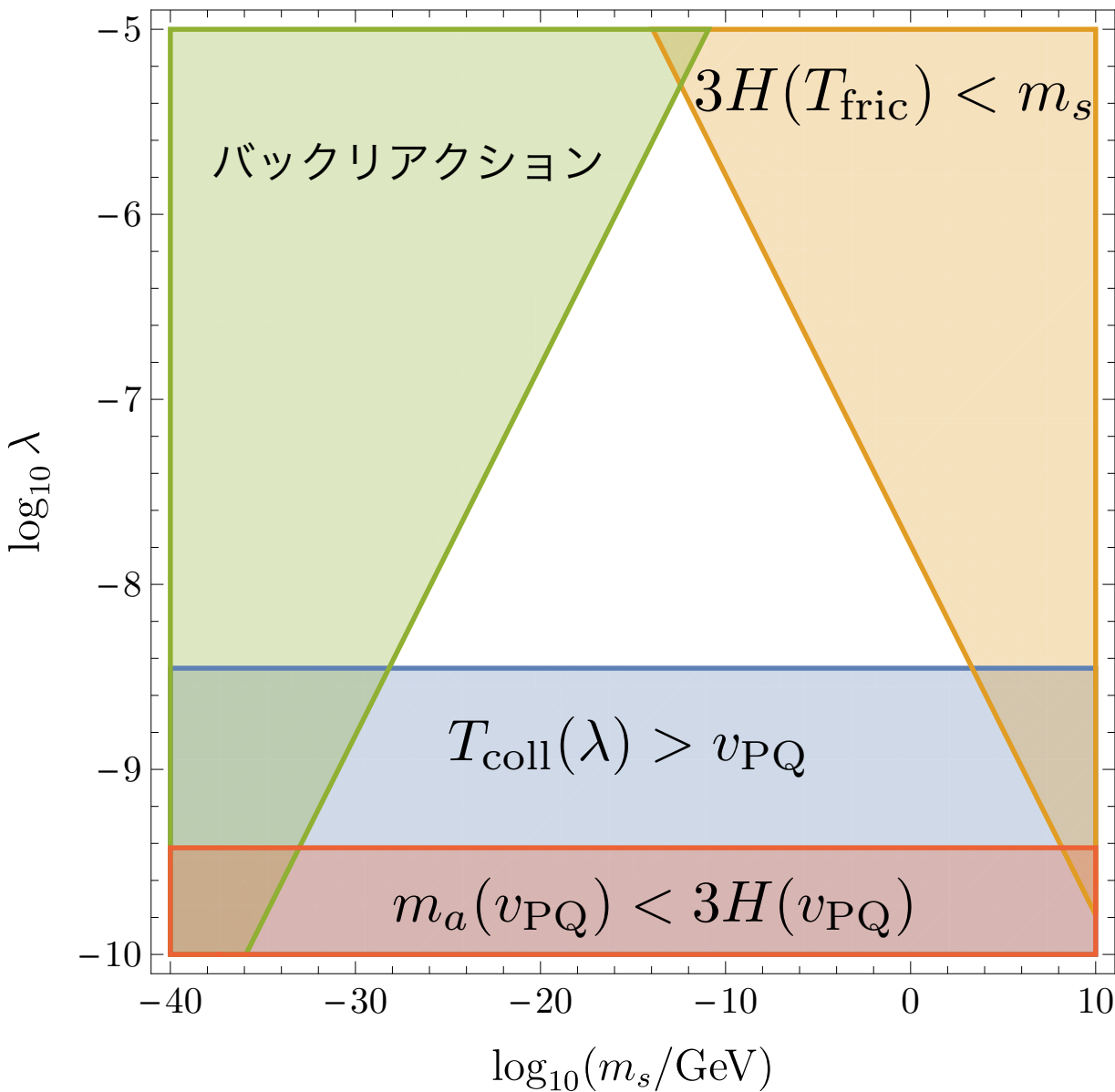
$$V(a) = 2 \frac{\lambda v_{\text{PQ}}}{m! M_{\text{Pl}}^{m-3}} \left( \frac{\chi}{\sqrt{2}} \right)^m \cos \left( \frac{a}{v_{\text{PQ}}} + m\theta_b \right)$$

の最低点が揺らぐため、アクションに揺らぎが移る。



$$\delta\theta_a \propto m N_{\text{DW}} \frac{H_I}{2\pi\langle\chi\rangle_I} \longrightarrow \text{等曲率揺らぎの発生}$$

# パラメータへの制限



$\lambda_s = 10^{-4}$ として計算

Isocurvature の制限

$$H_I \lesssim 2 \times 10^{11} \text{ GeV}$$

$$\times \left( \frac{\sqrt{c_s}}{N_{\text{DW}}^4 \lambda_s} \right)^{1/3}$$

(パラメータによるが)  
 $H_I \sim 10^{13} \text{ GeV}$ も可能

# 先行研究との比較

	$f_a \sim 10^{11} \text{ GeV}$	$H_I \sim 10^{13} \text{ GeV}$
$N_{\text{DW}} = 1$ シナリオ		
インフレーション中の PQ breaking		
今回の模型		

- $f_a \sim 10^{11} \text{ GeV}$  はADMXで探索可能な範囲 I. Stern, "ADMX Status", PoS ICHEP2016

- $H_I \sim 10^{13} \text{ GeV}$  はCOrEで探索可能な範囲

COrE  
Cosmic Origins Explorer  
A White Paper

# 結論

- 早い時期にドメインウォールを潰すことで、アクションの過剰生成による制限を回避できた。
- 等曲率揺らぎの制限を完全に回避することはできないが、既存のシナリオよりも制限を緩和できた。
- より正確な制限を与えるにはシミュレーション等を用いてより詳しくダイナミクスを追う必要がある。